

205 South 600 West Logan, Utah 84323, États-Unis – Tél. (800) 729-8350 – Tél. (435) 755-9848 – Télécopieur (435) 755-0015 – www.scytek.com Rév. 3, 19/07/2022

Kit de coloration à l'hématoxyline et à l'éosine

Description et principe

Le kit de coloration à l'hématoxyline et à l'éosine est destiné à être utilisé dans les applications d'histologie et de cytologie. Ce kit comprend une nouvelle formule d'éosine qui offre les avantages d'une formule alcoolisée traditionnelle avec des améliorations significatives de la facilité d'utilisation. Les avantages comprennent un taux d'évaporation plus faible, de meilleurs motifs de couleurs, une tendance réduite à déborder sur le récipient, les mains et les comptoirs, et une tension superficielle améliorée pour rester sur la section du tissu. Notre hématoxyline produit des noyaux d'un bleu vif et intense offrant un contraste optimal avec le cytoplasme coloré à l'éosine. Les noyaux sont colorés par une solution rapide et progressive d'hématoxyline. La liaison nucléaire à l'hématoxyline est facilitée par l'utilisation de l'aluminium pour former une laque de colorant aluminium-hématéine. Un réactif de bleuissement est appliqué pour convertir le complexe aluminium-hématéine insoluble, qui est rouge, en un lac bleu insoluble. Les tissus sont contre-colorés à l'aide d'une solution de colorant Eosin Y, ce qui entraîne une coloration différentielle des érythrocytes, du collagène et des muscles.

Résultats attendus

Cytoplasme:	Rose clair
Collagène:	Rose
Muscle:	Rose/Rose
Érythrocytes:	Rose/Rouge
Noyaux:	Bleu

Contenu du kit

Contenu du kit	Stockage
1. Hématoxyline, Mayer (modification de Lillie)	18 à 25 °C
2. Réactif de bleuissement	18 à 25 °C
3. Solution d'éosine Y (alcoolique modifié)	18 à 25 °C

Commandes suggérées (non fournies)

Toute section de tissu bien fixée incrustée de paraffine ou congelée.
Frottis cellulaire.

Utilisations/limites

Pour un usage de diagnostic in vitro uniquement.
Ne pas utiliser si les réactifs deviennent troubles ou précipités.
N'utilisez pas de date d'expiration dépassée.
Soyez prudent lorsque vous manipulez des réactifs.
Non stérile
Destiné aux sections FFPE coupées à 5-10µm.
Cette procédure n'a pas été optimisée pour les sections congelées.
Les sections gelées peuvent nécessiter une modification du protocole.

Stockage

Conservez le kit et tous les composants à température ambiante (18-25°C).

Sécurité et précautions

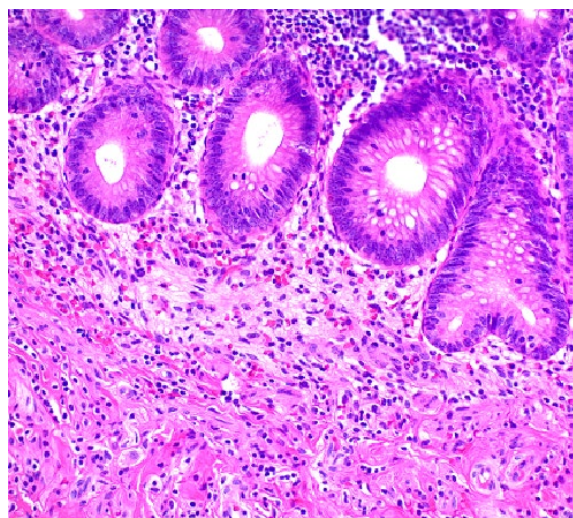
Veillez consulter les fiches de données de sécurité (FDS) actuelles de ce produit et de la classification GHS de ses composants, les pictogrammes et les mentions complètes de danger/précautions.

Procédure:

1. Déparaffiniser les sections si nécessaire et hydrater à l'eau distillée.
2. Appliquez l'hématoxyline, Mayer (Lillie's Modification) pendant 5 minutes.

3. Rincez la lame en 2 changements d'eau distillée pour enlever l'excès de tache.

4. Appliquez le réactif de bleuissement pendant 10 à 15 secondes.



Human Colon stained with Hematoxylin and Eosin Stain Kit

5. Rincez la lame dans 2 changements d'eau distillée.

6. Trempez la diapositive dans de l'alcool absolu et épongez l'excédent.

7. Appliquez la solution d'éosine Y (alcoolique modifiée) pendant 2 à 3 minutes.

8. Rincez la lame avec de l'alcool absolu.

9. Déshydratez la diapositive en 3 changements d'alcool absolu.

10. Glissière transparente et montage en résine synthétique.

Références

1. Shi X, An X, Yang L, Wu Z, Zan D, Li Z, Pang B, Chen Y, Li J, Tan P, Ma RZ. Le déficit en rétilocalbine 3 dans l'épithélium alvéolaire a atténué l'ALI induite par le LPS via la signalisation NFκB. *Journal américain de physiologie-Physiologie pulmonaire, cellulaire et moléculaire*. 24 février 2021.
2. Kim SY, Lee MS, Chang E, Jung S, Ko H, Lee E, Lee S, Kim CT, Kim IH, Kim Y. L'extrait de sarrasin de Tartarie a atténué l'inflammation induite par l'obésité et augmenté l'expression musculaire de PGC-1α/SIRT1 chez les rats obèses induits par un régime riche en graisses. *Nutriments*. mars 2019; 11(3):654.
3. Park BK, Lee JH, Seo HW, Oh KS, Lee JH, Lee BH. L'icariine protège contre la mortalité et les dommages induits par les radiations in vitro et in vivo. *Revue internationale de biologie des rayonnements*. 28 février 2019(juste accepté) :1-27.
4. Belus MT, Rogers MA, Elzubeir A, Josey M, Rose S, Andreeva V, Yelick PC, Bates EA. Kir2.1 est important pour une signalisation BMP efficace dans le développement du visage des mammifères. *Biologie du développement*. 20 mars 2018.
5. Nicole C. Clark, Cindy A. Pru, Siu-Pok Yee, John P. Lydon, John J. Peluso, James K. Pru. L'ablation conditionnelle du composant membranaire du récepteur de la progestérone 2 provoque une sénescence reproductive prématurée chez la femelle. *Endocrinology*, volume 158, numéro 3, 1er mars 2017, pages 640-651, <https://doi.org/10.1210/en.2016-1701>
6. Keshnerwani, Varun, Shyam Sundar Nandi, Surender K. Sharawat, Hamid R. Shahshahan et Paras Kumar Mishra. « Le sulfure d'hydrogène atténue le remodelage

- pathologique médié par l'homocystéine en induisant miR-133a dans les cardiomyocytes. » *Biochimie moléculaire et cellulaire* 404, n° 1-2 (2015) : 241-250.
7. Korytnikov, Roman, et Maria Cristina Nostro. « Génération de lignées progénitrices pancréatiques polyhormonales et multipotentes à partir de cellules souches pluripotentes humaines. » *Méthodes* (2015).
8. Y. Amir-Levy, K. Mausner-Fainberg et A. Karni. « Le traitement avec des anticorps anti-EGF améliore l'encéphalomyélite auto-immune expérimentale via l'induction de la neurogenèse et de l'oligodendrogenèse », *Multiple Sclerosis International*, vol. 2014, p. e926134, décembre 2014.
9. P. Zhang, X. Xu, X. Hu, H. Wang, J. Fassett, Y. Huo, Y. Chen et R. J. Bache. « La déficience en DDAH1 atténue la progression du cycle cellulaire endothélial et l'angiogenèse », *PLoS ONE*, vol. 8, n° 11, p. e79444, novembre 2013.
10. Kim, H., Seol-Bong, Y., Choe, J.Y., Paik, J.H., Xu, X., Nitta, H., Zhang, W., Grogan, T.M., Lee, C.T., Jheon, S., Chung, J.H. Détection du réarrangement du gène ALK dans le cancer du poumon non à petites cellules, une comparaison de l'hybridation in situ par fluorescence et de l'hybridation in situ chromogène en corrélation avec l'expression de la protéine ALK. *Journal d'oncologie thoracique*, volume 6, numéro 8, pages 1359-1366, août 2011.
11. Sheenan, D.C., Hrapchak, B.B. *Théorie et pratique de l'histotechnologie*, 2e édition. CV Mosby, Columbus, OH. Pages 140-141, 1980.
12. Lillie, R.D., Fullmer, H.M. *Technique histopathologique et hisochimie pratique*, 4e édition, McGraw-Hill, NY. Pages 205-208, 1976.
13. Luna, L.G. *Manuel des méthodes de coloration histologique de l'Institut de pathologie des forces armées*, 3e édition, McGraw-Hill, NY, pages 34-35, 1968



ScyTek Laboratories, Inc.
205 South 600 West
Logan, UT 84321
435-755-9848
U.S.A.



Emergo Europe
Prinsessegracht 20
2514 AP The Hague, The Netherlands